

# 双基推进剂热分解反应动力学参数的计算

胡荣祖 杨正权 梁燕军

## 摘要

本文根据在CDR-1型热分析仪上测得的一条非等温DSC曲线，确定了双基推进剂热分解反应的最可几机理函数，提出了计算三个动力学参数( $E$ 、 $A$ 和 $n$ )的数值方法。该法用线性最小二乘法、迭代法以及二分法与最小二乘法相结合的方法，以积分方程、微分方程和放热速率方程拟合实验数据。在逻辑选择建立了微分形式或积分形式的机理函数的最可几一般表达式后，用放热速率方程计算相应的动力学参数 $E$ 、 $A$ 和 $n$ 的值。

**主题词：** 双基推进剂，热离解，量热器，参数估计。

## 一、引言

表观活化能 $E$ 、指前因子 $A$ 和反应级数 $n$ 是评价推进剂的安定性和相容性的三个重要参数<sup>[1-3]</sup>。用单一非等温DSC曲线同时确定其热分解反应的最可几机理函数和三个动力学参数未见文献报道。本文利用积分方程、微分方程和放热速率方程由一条DSC曲线同时得到这些动力学参数和机理函数。这对于分析和研究推进剂的安定性和相容性无疑是有益的。

## 二、实验细则

### 1. 材料

双基推进剂DP-1(硝化棉52.5%、硝化甘油34.5%、碱式碳酸铅4%、三醋酸甘油酯7%、二号中定剂2.0%);DP-2(硝化棉55.9%、硝化甘油29%、碱式碳酸铅1.92%、己二酸铜0.88%、三醋酸甘油酯8.3%、二号中定剂1.5%、碳黑1.0%、冰晶石1.5%)，均由我所制备。

### 2. 实验条件

DSC实验是在上海天平仪器厂制造的CDR-1型差动扫描量热计上完成的。采用镍铬-镍硅热电偶，在静态空气和升温速率为 $5\text{ }^{\circ}\text{C}\cdot\text{min}^{-1}$ 的条件下操作。 $\alpha\text{-Al}_2\text{O}_3$ 为参比物。试样量在1.5—2.5mg的范围内变化。灵敏度和走纸速率分别为 $41.84\text{mJ}\cdot\text{s}^{-1}$ 和 $20\text{mm}\cdot\text{min}^{-1}$ 。升温速率 $\phi$ 按照50℃到反应终止温度范围内实际的升温速率计算。

同一实验条件下所得的DSC数据有较好的重复性。实测DSC曲线示于图1中。

### 三、动力学方程和动力学数据的分析

在分析动力学问题时，可用两种不同形式的方程：

$$d\alpha/dt = K f(\alpha) \quad (1)$$

和

$$G(\alpha) = Kt \quad (2)$$

这里  $\alpha$  是已反应物质的分数， $t$  是时间， $K$  为动力学常数， $f(\alpha)$  和  $G(\alpha)$  分别是微分形式和积分形式的机理函数。 $f(\alpha)$  与  $G(\alpha)$  间的关系为

$$f(\alpha) = \frac{1}{G'(\alpha)} = \frac{1}{d[G(\alpha)]/d\alpha} \quad (3)$$

动力学常数  $K$  与反应温度  $T$  (绝对温度) 之间的关系可用著名的 Arrhenius 方程来表示

$$K = A \exp(-E/RT) \quad (4)$$

可以认为，方程(1)—(4)对于非等温情形也是正确的(至少，凭经验)<sup>[4]</sup>。在这种情况下， $E$  和  $A$  分别是表观活化能和表观指前因子。 $R$  是气体常数。

令  $T_0$  表示 DSC 曲线偏离基线开始点的温度(图 1)， $\phi$  为升温速率，二者的关系式为

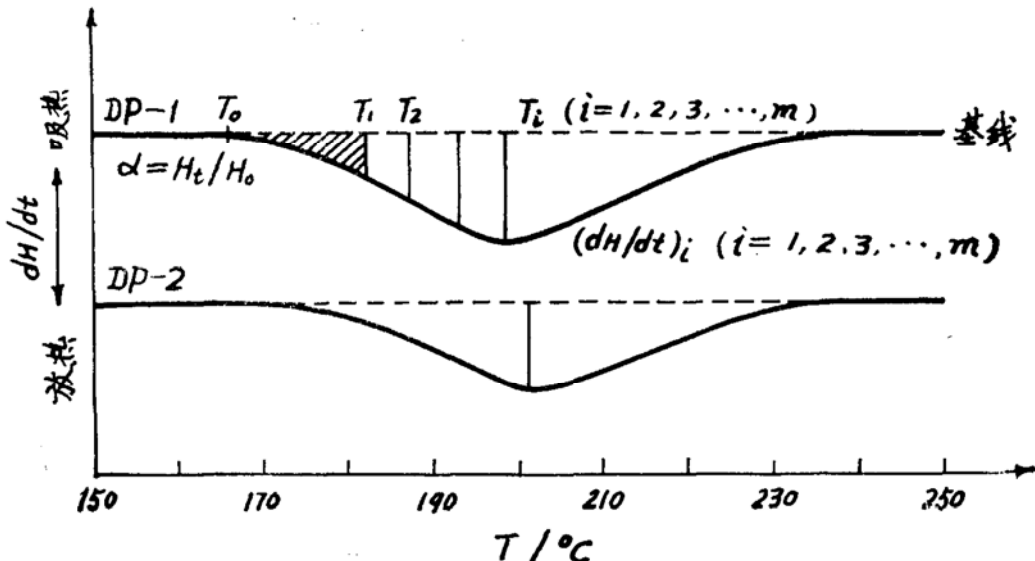


图 1 双基推进剂 DP-1 和 DP-2 热分解的典型 DSC 曲线示意图

$$T = T_0 + \phi t \quad (5)$$

为了得到非等温动力学的全部关系式，联立方程(2)、(4)和(5)，则有

$$G(\alpha) = \frac{A}{\phi} (T - T_0) e^{-\frac{E}{RT}} \quad (6)$$

方程(6)两边取对数，便得积分方程

$$\ln\left(\frac{G(\alpha)}{T - T_0}\right) = \ln\frac{A}{\phi} - \frac{E}{RT} \quad (7)$$

用线性最小二乘法在计算机上(程序IM)以方程(7)拟合实验数据。

整理方程(6)的两边，并注意到方程(3)，再对所得方程两边取对数，便得微分方程

$$\ln\left[\frac{da/dT}{f(\alpha)(E(T - T_0)/RT^2 + 1)}\right] = \ln\frac{A}{\phi} - \frac{E}{RT} \quad (8)$$

方程(8)可用迭代法在计算机上求解(程序DM)。给定 $E$ 任意一个大于零的值,利用这个值对每一个数据点都可以计算出左边表达式相应的值,然后利用线性最小二乘法从斜率得到新的 $E$ 值,而从截距得到新的 $A$ 值。把 $E$ 的这个修正值作为初值,再次迭代,可得到 $E$ 的另一个修正值,这样经几次迭代后,就会得到较合理的 $E$ 和 $A$ 值。

联立方程(3)、(5)和(8),则有

$$\frac{d\alpha}{dt} = \left\{ A \left[ 1 + \frac{E}{RT} \left( 1 - \frac{T_0}{T} \right) \right] \exp \left( -\frac{E}{RT} \right) \right\} f(\alpha) \quad (9)$$

顺便指出,整理方程(9)的两边,然后积分,可得

$$\int_0^t \frac{d\alpha}{f(\alpha)} = G(\alpha) = \frac{A}{\phi} \int_{T_0}^T \left[ 1 + \frac{E}{RT} \left( 1 - \frac{T_0}{T} \right) \right] e^{-\frac{E}{RT}} dT \quad (10)$$

从方程(10)又可回到方程(6)。

结合方程(9)和 $\alpha = H_t/H_0$ ,得到

$$\frac{dH_t}{dt} = AH_0 \left\{ f(\alpha) \left[ 1 + \frac{E}{RT} \left( 1 - \frac{T_0}{T} \right) \right] \right\} \exp \left( -\frac{E}{RT} \right) \quad (11)$$

其中 $H_0$ 为物质热分解反应的总热量(相当于DSC曲线下的总面积); $H_t$ 为 $t$ 时刻的已反应的物质所放出的部分热量(相当于该瞬间所对应的DSC曲线下的部分面积)。

把由积分法和微分法逻辑选择得到的可几的机理函数,例如 $f(\alpha) = (1 - \alpha)^n$ ,代入方程(11),可得

$$\ln \frac{dH_t}{dt} = \ln \left\{ AH_0 (1 - \alpha)^n \left[ 1 + \frac{E}{RT} \left( 1 - \frac{T_0}{T} \right) \right] \right\} - \frac{E}{RT} \quad (12)$$

方程(12)称为放热速率方程<sup>(5)</sup>。

考虑如下评价函数的最小值

$$\Omega = \sum_{i=1}^m \left\{ \ln \left( \frac{dH_t}{dt} \right)_i - \ln \left\{ AH_0 (1 - \alpha_i)^n \left[ 1 + \frac{E}{RT_i} \left( 1 - \frac{T_0}{T_i} \right) \right] \right\} + \frac{E}{RT_i} \right\}^2 \quad (13)$$

从方程(13)可得以下的正规方程组

$$\begin{cases} \frac{\partial \Omega}{\partial A} = 0 \\ \frac{\partial \Omega}{\partial n} = 0 \end{cases} \quad (14)$$

$$\begin{cases} \frac{\partial \Omega}{\partial E} = 0 \\ \frac{\partial \Omega}{\partial T} = 0 \end{cases} \quad (15)$$

$$\begin{cases} \frac{\partial \Omega}{\partial E} = 0 \\ \frac{\partial \Omega}{\partial T} = 0 \end{cases} \quad (16)$$

一旦从方程(16)计算出 $E$ 的值,便可从方程(14)和(15)得到相应的 $A$ 和 $n$ 值。这些计算是用ETA程序在计算机上完成的。在二分法和最小二乘法相结合的迭代计算过程中,我们取 $AA = 10^{-1}$ , $BB = 10^{10}$ , $H = 50.0$ , $E_1 = 10^{-10}$ , $E_2 = 10^{-5}$ 。这里 $E$ 是方程(16)的根, $(AA, BB)$ 是方程(16)的有根区间, $H$ 是步长,而 $E_1$ 和 $E_2$ 是为了控制精度而采用的两个常数。当方程(16)左边在某一点的值小于预先给定的函数值精度 $E_1$ 时,则这个点就是方程(16)的根;或者在二分法的迭代过程中,某个小区间长度的一半小于预先给定的自变量精度 $E_2$ 时,则该小区间的中点就是所求的方程(16)的根。利用列在表1中的 $G(\alpha)$ 和 $f(\alpha)$ 的全部形式,用方程(7)和(8)分析了列在表2中的双基推进剂的实验数据。从表3和表4所列结果可清楚地看出,当所有条件同时满足时,即 $E$ 和 $A$ 值在含能材料热分解反应动

表 1 本分析所用的30种动力学函数

| 函数号   | 函数形式* (积分形式) ,                          | $G(\alpha)$                           |
|-------|---|---------------------------------------|
| 1     | $\alpha^2$                              |                                       |
| 2     | $\alpha + (1 - \alpha) \ln(1 - \alpha)$ |                                       |
| 3     | $1 - (2/3)\alpha - (1 - \alpha)^{2/3}$  |                                       |
| 4~5   | $[1 - (1 - \alpha)^{1/3}]^n$            | ( $n = 2, 1/2$ )                      |
| 6     | $[1 - (1 - \alpha)^{1/2}]^{1/2}$        |                                       |
| 7     | $[(1 + \alpha)^{1/3} - 1]^2$            |                                       |
| 8     | $[(1/(1 - \alpha)^{1/3} - 1)^2$         |                                       |
| 9     | $- \ln(1 - \alpha)$                     |                                       |
| 10~16 | $[-\ln(1 - \alpha)]^n$                  | ( $n = 2/3, 1/2, 1/3, 4, 1/4, 2, 3$ ) |
| 17~22 | $1 - (1 - \alpha)^n$                    | ( $n = 1/2, 3, 2, 4, 1/3, 1/4$ )      |
| 23~27 | $\alpha^n$                              | ( $n = 1, 3/2, 1/2, 1/3, 1/4$ )       |
| 28    | $(1 - \alpha)^{-1}$                     |                                       |
| 29    | $(1 - \alpha)^{-1} - 1$                 |                                       |
| 30    | $(1 - \alpha)^{-1/2}$                   |                                       |

\* 微分形式

$$f(\alpha) = 1/G'(\alpha)$$

表 2 DSC测得的双基推进剂DP-1和DP-2的数据

| 材 料  | 数据点                      | $T_i$<br>(K) | $\alpha_i$               | $(dH_i/dt)_i$<br>(mJ/s) | $(d\alpha/dT)_i \cdot 10^3$<br>(l/K) |
|------|--------------------------|--------------|--------------------------|-------------------------|--------------------------------------|
| DP-1 | 1                        | 451.65       | 0.0337                   | 0.7196                  | 6.691                                |
|      | 2                        | 455.15       | 0.0577                   | 0.9640                  | 8.962                                |
|      | 3                        | 457.65       | 0.0885                   | 1.379                   | 12.82                                |
|      | 4                        | 460.65       | 0.1294                   | 1.925                   | 17.89                                |
|      | 5                        | 463.15       | 0.1842                   | 2.440                   | 22.69                                |
|      | 6                        | 466.15       | 0.2558                   | 3.046                   | 28.32                                |
|      | 7                        | 468.65       | 0.3245                   | 3.498                   | 32.52                                |
|      | 8                        | 470.15       | 0.3793                   | 4.127                   | 38.37                                |
|      | 9                        | 471.65       | 0.4395                   | 4.228                   | 39.30                                |
|      | $T_o = 441.15 \text{ K}$ |              | $H_o = 1191 \text{ mJ}$  |                         | $\phi = 0.0903^\circ \text{ C/s}$    |
| DP-2 | 1                        | 453.15       | 0.0331                   | 0.4853                  | 5.934                                |
|      | 2                        | 457.65       | 0.0646                   | 0.7230                  | 8.840                                |
|      | 3                        | 460.65       | 0.1072                   | 1.088                   | 13.30                                |
|      | 4                        | 465.15       | 0.1680                   | 1.801                   | 22.02                                |
|      | 5                        | 467.65       | 0.2343                   | 2.293                   | 28.03                                |
|      | 6                        | 470.15       | 0.3061                   | 2.879                   | 35.20                                |
|      | 7                        | 471.15       | 0.3779                   | 3.294                   | 40.27                                |
|      | 8                        | 473.15       | 0.4315                   | 3.464                   | 42.36                                |
|      | 9                        | 474.65       | 0.4867                   | 3.568                   | 43.63                                |
|      | $T_o = 441.65 \text{ K}$ |              | $H_o = 908.8 \text{ mJ}$ |                         | $\phi = 0.0900^\circ \text{ C/s}$    |

表 3 用积分法(方程7)和微分法(方程8)分析双基推进剂DP-1热分解数据的结果

| 函数号 | 积 分 法     |            |       |          | 微 分 法     |            |       |          |
|-----|-----------|------------|-------|----------|-----------|------------|-------|----------|
|     | E(kJ/mol) | logA (1/s) | r     | Q        | E(kJ/mol) | logA (1/s) | r     | Q        |
| 1   | 359.49    | 36.6       | 0.997 | 0.086183 | 322.77    | 32.5       | 0.996 | 0.114430 |
| 2   | 373.80    | 38.0       | 0.998 | 0.063865 | 344.35    | 34.7       | 0.997 | 0.074316 |
| 3   | 378.87    | 37.9       | 0.998 | 0.056594 | 352.03    | 34.9       | 0.998 | 0.062407 |
| 4   | 389.03    | 39.1       | 0.999 | 0.043772 | 367.18    | 36.6       | 0.999 | 0.044006 |
| 5   | 28.99     | 0.29       | 0.978 | 0.004860 | 45.77     | 2.15       | 0.978 | 0.011677 |
| 6   | 27.10     | 0.16       | 0.978 | 0.004199 | 41.53     | 1.76       | 0.975 | 0.011209 |
| 7   | 338.72    | 33.2       | 0.996 | 0.114319 | 293.85    | 28.2       | 0.992 | 0.161552 |
| 8   | 420.48    | 42.7       | 0.999 | 0.018727 | 412.83    | 41.8       | 0.999 | 0.026400 |
| 9   | 156.75    | 14.6       | 0.999 | 0.003647 | 157.02    | 14.6       | 0.997 | 0.015555 |
| 10  | 74.16     | 5.51       | 0.997 | 0.004411 | 86.46     | 6.89       | 0.992 | 0.015407 |
| 11  | 32.86     | 0.98       | 0.977 | 0.006496 | 54.40     | 3.36       | 0.979 | 0.015665 |
| 12  | -ve       | -ve        | 0.691 | 0.009716 | 25.63     | 0.16       | 0.913 | 0.016372 |
| 13  | 900.06    | 96.2       | 0.999 | 0.201112 | 877.19    | 93.7       | 0.999 | 0.153311 |
| 14  | -ve       | -ve        | 0.948 | 0.011751 | 12.68     | -ve        | 0.744 | 0.017334 |
| 15  | 404.52    | 41.8       | 0.999 | 0.028601 | 389.85    | 40.2       | 0.999 | 0.028259 |
| 16  | 652.29    | 69.0       | 0.999 | 0.094422 | 632.18    | 66.8       | 0.999 | 0.072155 |
| 17  | 145.22    | 13.0       | 0.999 | 0.004657 | 136.21    | 12.0       | 0.996 | 0.016517 |
| 18  | 95.49     | 8.00       | 0.984 | 0.035456 | 41.64     | 2.03       | 0.677 | 0.256017 |
| 19  | 113.84    | 9.94       | 0.993 | 0.020414 | 77.04     | 5.86       | 0.932 | 0.112455 |
| 20  | 79.06     | 6.23       | 0.969 | 0.050281 | 10.96     | -ve        | 0.183 | 0.460687 |
| 21  | 149.00    | 13.2       | 0.999 | 0.003995 | 143.10    | 12.6       | 0.997 | 0.014508 |
| 22  | 150.92    | 13.3       | 0.999 | 0.003779 | 146.56    | 12.8       | 0.997 | 0.014138 |
| 23  | 134.23    | 12.0       | 0.998 | 0.008255 | 115.87    | 9.96       | 0.990 | 0.032800 |
| 24  | 246.86    | 24.3       | 0.997 | 0.036064 | 216.54    | 20.9       | 0.995 | 0.064265 |
| 25  | 21.60     | -ve        | 0.977 | 0.002754 | 29.15     | 0.51       | 0.932 | 0.016199 |
| 26  | -ve       | -ve        | 0.918 | 0.005878 | 6.14      | -ve        | 0.530 | 0.013047 |
| 27  | -ve       | -ve        | 0.973 | 0.008369 | 4.48      | -ve        | 0.751 | 0.392390 |
| 28  | -ve       | -ve        | 0.854 | 0.088850 | 199.71    | 19.5       | 0.994 | 0.058532 |
| 29  | 181.41    | 17.4       | 0.998 | 0.012696 | 199.71    | 19.5       | 0.994 | 0.058532 |
| 30  | -ve       | -ve        | 0.961 | 0.047495 | 178.21    | 16.7       | 0.996 | 0.029640 |

表 4 用积分法(方程7)和微分法(方程8)分析双基推进剂DP-2热分解数据的结果

| 函数号 | 积 分 法     |             |       |          | 微 分 法     |             |       |          |
|-----|-----------|-------------|-------|----------|-----------|-------------|-------|----------|
|     | E(kJ/mol) | log A (1/s) | r     | Q        | E(kJ/mol) | log A (1/s) | r     | Q        |
| 1   | 362.15    | 36.7        | 0.997 | 0.091462 | 339.82    | 34.2        | 0.996 | 0.115243 |
| 2   | 377.62    | 38.2        | 0.998 | 0.081174 | 363.49    | 36.6        | 0.998 | 0.081745 |
| 3   | 383.15    | 38.2        | 0.998 | 0.079147 | 371.97    | 36.9        | 0.998 | 0.074376 |
| 4   | 394.23    | 39.4        | 0.998 | 0.078359 | 388.67    | 38.8        | 0.998 | 0.069059 |
| 5   | 34.81     | 0.91        | 0.965 | 0.012215 | 60.46     | 3.72        | 0.973 | 0.027749 |
| 6   | 32.75     | 0.76        | 0.965 | 0.010680 | 55.48     | 3.25        | 0.969 | 0.027057 |
| 7   | 340.45    | 33.3        | 0.997 | 0.108285 | 309.41    | 29.8        | 0.994 | 0.157146 |
| 8   | 428.67    | 43.4        | 0.998 | 0.104935 | 438.96    | 44.6        | 0.998 | 0.122626 |
| 9   | 163.07    | 15.2        | 0.996 | 0.026852 | 177.57    | 16.8        | 0.995 | 0.042726 |
| 10  | 80.38     | 6.15        | 0.990 | 0.018183 | 104.48    | 8.82        | 0.988 | 0.036623 |
| 11  | 39.04     | 1.63        | 0.964 | 0.015904 | 70.57     | 5.09        | 0.975 | 0.034716 |
| 12  | -ve       | -ve         | 0.215 | 0.014994 | 39.53     | 1.65        | 0.929 | 0.033851 |
| 13  | 907.30    | 96.6        | 0.998 | 0.351426 | 903.03    | 96.2        | 0.999 | 0.292206 |
| 14  | -ve       | -ve         | 0.909 | 0.015053 | 25.41     | 0.05        | 0.850 | 0.034068 |
| 15  | 411.15    | 42.3        | 0.998 | 0.085731 | 413.64    | 42.6        | 0.998 | 0.082668 |
| 16  | 659.22    | 69.5        | 0.998 | 0.193922 | 657.25    | 69.3        | 0.999 | 0.164222 |
| 17  | 150.49    | 13.5        | 0.997 | 0.018681 | 154.18    | 13.9        | 0.995 | 0.031282 |
| 18  | 97.33     | 8.13        | 0.986 | 0.036191 | 47.01     | 2.57        | 0.656 | 0.397723 |
| 19  | 116.71    | 10.2        | 0.994 | 0.022268 | 82.26     | 6.92        | 0.930 | 0.164600 |
| 20  | 80.26     | 6.29        | 0.971 | 0.051884 | 12.40     | -ve         | 0.169 | 0.744930 |
| 21  | 154.61    | 13.8        | 0.996 | 0.020705 | 161.93    | 14.6        | 0.996 | 0.032049 |
| 22  | 156.70    | 13.9        | 0.996 | 0.021968 | 165.82    | 14.9        | 0.996 | 0.033578 |
| 23  | 138.58    | 12.4        | 0.997 | 0.016119 | 131.25    | 11.6        | 0.990 | 0.047461 |
| 24  | 250.37    | 24.6        | 0.997 | 0.044227 | 233.29    | 22.7        | 0.995 | 0.072957 |
| 25  | 26.79     | 0.22        | 0.965 | 0.007138 | 40.90     | 1.76        | 0.928 | 0.036825 |
| 26  | -ve       | -ve         | 0.800 | 0.008395 | 16.04     | -ve         | 0.706 | 0.036136 |
| 27  | -ve       | -ve         | 0.960 | 0.009820 | 5.23      | -ve         | 0.308 | 0.036469 |
| 28  | -ve       | -ve         | 0.745 | 0.121028 | 225.36    | 22.2        | 0.990 | 0.146942 |
| 29  | 190.24    | 18.3        | 0.993 | 0.066635 | 225.36    | 22.2        | 0.990 | 0.146942 |
| 30  | -ve       | -ve         | 0.946 | 0.056507 | 201.31    | 19.2        | 0.993 | 0.081390 |

力学参数的正常范围内 ( $E = 80 \sim 250 \text{ kJ} \cdot \text{mol}^{-1}$ ;  $\lg(A) = 7 \sim 30 \text{ s}^{-1}$ ); 线性相关系数  $r > 0.99$  而偏差  $Q < 0.1$  时, 从逻辑上看, 可能的机理函数是第 9、17、21 和 22 号函数。这些函数的一般表达式是  $f(\alpha) = (1 - \alpha)^n$ 。把这些函数的一般表达式作为最可能的机理函数代入放热速率方程 (12), 然后解方程 (14)—(16) 就可确定出合理的  $E$ 、 $A$  和  $n$  的值,(见表 5 )。

表 5 双基推进剂 DP-1 和 DP-2 热分解动力学参数计算值

| 材料   | $\alpha$      | $G(\alpha)$          | 方程 (7)          |                  | 方程 (8)          |                  | 方程 (12)         |                  |      |
|------|---------------|----------------------|-----------------|------------------|-----------------|------------------|-----------------|------------------|------|
|      |               |                      | $E$<br>(kJ/mol) | $\lg A$<br>(1/s) | $E$<br>(kJ/mol) | $\lg A$<br>(1/s) | $E$<br>(kJ/mol) | $\lg A$<br>(1/s) | $n$  |
| DP-1 | 0.0337-0.4395 | $1-(1-\alpha)^{1/4}$ | 150.92          | 13.3             | 146.56          | 12.8             | 147.85          | 13.6             | 0.78 |
| DP-2 | 0.0331-0.4867 | $1-(1-\alpha)^{1/2}$ | 150.49          | 13.5             | 154.18          | 13.9             | 156.06          | 14.4             | 0.54 |

## 结 论

如果用微分法(方程(8))和积分法(方程(7))分析单一非等温 DSC 曲线的动力学数据, 那么就可以从  $f(\alpha)$  和  $G(\alpha)$  的全部形式中逻辑选择出  $f(\alpha)$  或者  $G(\alpha)$  的最可能的一般表达式; 然后把  $f(\alpha)$  的这个表达式代入放热速率方程 (12), 就可确定出相应的  $E$ 、 $A$  和  $n$  的值。

方程 (7)、(8) 和 (12) 适于编制成计算机程序, 从而可在计算机上快速完成计算。

## 参 考 文 献

- [1] Reich, L.: J. Inorg., Nucl. Chem. 28, 5 (1966) 1329.
- [2] Rogers, R. N. and Morris, E. A.: Anal. Chem., 39 (1966) 412.
- [3] Rogers, R. N.: International Annual Conference of ICT (1980) 59.
- [4] Bagchi, T. P., Sen, K. P.: Thermochemical Acta 51 (1981) 175.
- [5] 胡荣祖、杨正权、梁燕军: 中国化学会第二届溶液化学、化学热力学、热化学及热分析学术论文报告会论文摘要汇编, P.292, 1984。

# **INVESTIGATION OF HIGH-ALTITUDE IGNITION PERFORMANCE OF SEVERAL CHINESE JET FUELS WITH DIFFERENT PROPERTIES**

Chen Nengkuen

## **Abstract**

Investigation of high-altitude ignition performance of several China-made jet fuels with different properties has been conducted at a simulated altitude facility. Jet fuels were tested in a small pilot combustion chamber taken from an existing aeroengine. The fuels consist of Da-Qing oil, Da-Gang oil, Nen-Jing oil, Gu-Dao oil (so called as high density fuel) as well as a compound oil. Test results show that the lower the fuel density (its viscosity is also lower, but vapour pressure is higher), the better the high-altitude ignition performance. The high-altitude ignition performance of high density fuel is rather poor, but can be significantly improved by mixing it with a small quantity of low density oil (about 10 percent). Using a small flow number atomizer may obviously improve the lean ignition limit of the high density fuel, but the ignition velocity-pressure limit and the rich ignition limit are shrunk. Test results also show that prevailing theory model for spark ignition is feasible.

**Keywords:** Jet engine fuel, Air ignition

# **THE COMPUTATION OF THE KINETIC PARAMETERS OF THERMAL DECOMPOSITION REACTION OF DOUBLE-BASE PROPELLANT**

Hu Rongzu    Yang Zhengquan    Liang Yanjun

## **ABSTRACT**

The determination of the most probable mechanism function and a numerical method of computing three kinetic parameters of thermal decomposition reaction of double-base propellant by a single non-isothermal DSC curve are reported. The